

· 基础研究 ·

## 缬沙坦对心力衰竭家兔肌质网钙 ATP 酶表达及功能的影响

曲辅政<sup>1\*</sup>, 孙书勤<sup>1</sup>, 姜泽强<sup>1</sup>, 史孟松<sup>1</sup>, 孙艺英<sup>1</sup>, 王平<sup>1</sup>, 周红霞<sup>1</sup>, 王绍华<sup>1</sup>, 丛琳强<sup>1</sup>, 刘志华<sup>2</sup>, 蒋彬<sup>2</sup>, 邹操<sup>2</sup>, 蒋文平<sup>2</sup>

(<sup>1</sup>烟台市牟平人民医院/滨州医学院烟台附属医院心内科, 烟台 264100; <sup>2</sup>苏州大学附属第一医院心内科, 苏州 215006)

**【摘要】目的** 探讨家兔慢性心力衰竭时心肌肌质网钙 ATP 酶 (SERCA2) 表达和功能的改变及血管紧张素受体拮抗剂缬沙坦长期干预的意义。方法 27只家兔随机分为3组, 假手术组、心力衰竭组和缬沙坦组各9只。通过超容量负荷联合压力负荷建立家兔心力衰竭模型, 于术后7周观察左心室结构、血流动力学的变化及SERCA2的表达和功能的改变。结果 与假手术组比较, 心力衰竭组左心室质量指数[(1.32±0.06) vs (3.61±0.09) g/kg]、左心室舒张末压[(-0.50±1.05) vs (23.00±2.37) mmHg]显著升高( $P<0.05$ ), 左心室短轴缩短率[(37.83±3.58)% vs (17.38±3.13)%]及左室射血分数[(72±5)% vs (38±6)%]明显降低( $P<0.05$ ); 与心力衰竭组比较, 缬沙坦组左心室质量指数和左心室舒张末压显著降低[(2.07±0.14) g/kg; (2.17±0.72) mmHg;  $P<0.05$ ]; 左心室短轴缩短率及左室射血分数明显升高[(33.8±2.9)%; (65±4)%;  $P<0.05$ ]。心力衰竭组SERCA2的表达[(0.69±0.04) vs (1.02±0.02)]和功能[(54.4±7.9)% vs (95.5±2.1)%]显著低于假手术组( $P<0.05$ )。缬沙坦组SERCA2的表达和功能显著高于心力衰竭组[(0.91±0.02); (81.7±4.9)%;  $P<0.05$ ]。结论 缬沙坦长期干预, 能够改善心力衰竭心脏舒缩功能, 可能与增加SERCA2的表达和提高其功能有关。

**【关键词】** 缬沙坦; 心力衰竭; 充血性; 肌质网; 钙转运 ATP 酶类

**【中图分类号】** R541.6

**【文献标识码】** A

**【文章编号】** 10.3724/SP.J.1264.2011.00016

## Effects of valsartan on sarcoplasmic reticulum calcium adenodine triphosphatase expression and function in a rabbit model of heart failure

QU Fuzheng<sup>1\*</sup>, SUN Shuqin<sup>1</sup>, JIANG Zeqiang<sup>1</sup>, SHI Mengsong<sup>1</sup>, SUN Yiyang<sup>1</sup>, WANG Ping<sup>1</sup>, ZHOU Houxia<sup>1</sup>, WANG Shaohua<sup>1</sup>, CONG Linqiang<sup>1</sup>, LIU Zhihua<sup>2</sup>, JIANG Bin<sup>2</sup>, ZOU Cao<sup>2</sup>, JIANG Wenping<sup>2</sup>

(<sup>1</sup>Department of Cardiology, MuPing People's Hospital in Yantai City/Yantai Affiliated Hospital of Binzhou Medical University, Yantai 264100, China; <sup>2</sup>Department of Cardiology, First Hospital, Suzhou University, Suzhou 215006, China)

**【Abstract】Objective** To investigate the effects of valsartan on sarcoplasmic reticulum calcium adenodine triphosphatase expression and function in a rabbit model of heart failure. **Methods** Twenty-seven rabbits were divided into sham-operated, heart failure and valsartan groups, with 9 in each group. The rabbit model of heart failure was prepared by volume overload plus pressure overload. After 7 weeks, left ventricular function, hemodynamic parameters, and expression and function of SERCA2 were observed. **Results** Compared with sham-operated rabbits, left ventricular mass index (LVMI) and left ventricular end diastolic pressure (LVEDP) were significantly increased in heart failure rabbits [(1.32±0.06) vs (3.61±0.09) g/kg and (-0.50±1.05) vs (23.00±2.37) mmHg respectively,  $P<0.05$ ], but the left ventricular shortening fraction and left ventricular ejection fraction (LVEF) were significantly decreased in heart failure rabbits [(37.83±3.58)% vs (17.38±3.13)%; (72±5)% vs (38±6)%;  $P<0.05$ ]. Compared with heart failure rabbits, LVMI and LVEDP were significantly decreased in valsartan rabbits [(2.07±0.14) g/kg and (2.17±0.72) mmHg respectively,  $P<0.05$ ], but their left ventricular shortening fraction and LVEF were increased [(33.8±2.9)% and (65±4)% respectively,  $P<0.05$ ]. Expression and function of SERCA2 were remarkably lower in heart failure rabbits than in sham-operated rabbits [(0.69±0.04) vs (1.02±0.02) and (54.4±7.9)% vs (95.5±2.1)% respectively,  $P<0.05$ ], while compared with heart failure rabbits, they were significantly higher in valsartan rabbits [(0.91±0.02) and (81.7±4.9)% respectively,  $P<0.05$ ]. **Conclusion** Valsartan can improve cardiac function, probably owing to its roles in upregulating expression and function of SERCA2 in the prevention of heart failure.

**【Key words】** valsartan; heart failure, congestive; sarcoplasmic reticulum; Ca(2+)-transporting ATPase

心力衰竭是临床常见的危重症之一，严重威胁患者的生命。血管紧张素受体拮抗剂（angiotensin receptor blocker, ARB）可选择性作用于AT<sub>1</sub>受体，逆转心室和血管壁的重构，促进心脏功能的恢复<sup>[1]</sup>。研究表明，心肌肌质网钙泵（sarcoplasmic reticulum calcium adenodine triphosphatase, SERCA2）的异常在心力衰竭的发病机制中发挥重要作用<sup>[2]</sup>。国外有研究表明血管紧张素可以引起心力衰竭大鼠的SERCA2表达和功能降低。ARB可以提高心力衰竭大鼠的SERCA2表达和功能，提示心力衰竭时肾素-血管紧张素系统参与引起了SERCA2表达和功能的降低<sup>[3,4]</sup>。目前国内少见关于心力衰竭时SERCA2的变化以及缬沙坦进行长期干预，进而改善心功能状况的报道。本实验通过用超容量负荷联合压力负荷制备家兔心力衰竭模型，进而观察缬沙坦对SERCA2表达和功能的影响，从而探讨缬沙坦改善心功能的机制。

## 1 材料与方法

### 1.1 动物和材料

家兔27只，雌雄不限，体重2.0~2.2 kg，由苏州大学医学院实验动物中心提供。Schiller TM-7型有创血压监护仪产自瑞士，Taq DNA聚合酶及逆转录试剂盒为Fermentas公司产品，PCR引物均由上海生物工程技术服务有限公司合成，低温离心机（Beckman）产自德国，PCR仪（Touchgene Gradient）产自英国，Bio-Rad电泳转印仪产自美国，KPL Western Blot试剂盒产自美国，BCA蛋白浓度测定试剂盒购于上海西唐生物公司，SERCA2a一抗购于Abcam公司，β-actin一抗购于Upstate公司，二抗羊抗兔IgG购于上海西唐生物公司，ATP酶测定试剂盒购于南京建成生物工程研究所，Fura-2 pentapontassium salt购于Alexis公司，缬沙坦为北京诺华制药公司产品，Lambdadig-4钙离子浓度荧光测定仪购于美国，IX71倒置显微镜购于日本。

### 1.2 心力衰竭模型的建立

家兔经心脏超声检查，排除器质性病变后，随机分为假手术组（n=9）、心力衰竭组（n=9）、缬沙坦组（n=9）。心力衰竭组、缬沙坦组家兔利用超容量负荷联合压力负荷制备心力衰竭模型<sup>[5]</sup>，3%戊巴比妥钠30 mg/kg经耳缘静脉麻醉；从右侧颈总动脉插入4F鞘管及4F导管，并经压力换能器连接心电血压监护仪，用4F导管迅速捅穿主动脉瓣膜几次，诱导主动脉瓣膜关闭不全。10d后在左肾动脉上方暴露腹主动脉，根据腹主动脉的粗细选择6F或者5F导管与其平行相贴，4号线结扎后抽出导管，使腹主动脉狭窄50%左右。缬沙坦组家兔在主动脉闭塞后第2 d

开始灌胃给予缬沙坦20 mg/（kg·d）。术后7周心脏超声测定左心室短轴缩短率（left ventricular fractional shortening, LVFS）及左室射血分数（left ventricular ejection fraction, LVEF），利用心导管术测定左心室收缩末期压（left ventricular end-systolic pressure, LVESP）、左心室舒张末期压（left ventricular end diastolic pressure, LVEDP）；然后处死家兔，取出心脏，剪下左室心肌组织称重，-70℃保存备用。

### 1.3 半定量RT-PCR

根据Genebank的序列，并参考相关文献，分别设计SERCA2及内参照β-肌动蛋白（β-actin）的引物序列。SERCA2正义引物：3'-TGAATAAACCGC-CTCGG-5'，反义引物：3'-CAGCACCATCAGCCACT-5'；β-actin正义引物：3'-CTTCTCCTGATGTCCC-GCACGAT-5'，反义引物：3'-GTGCTGTCCCTGTA-CGCCTCTGG-5'。用Trizol提取心肌的总RNA，逆转录成cDNA，-20℃保存。PCR反应体积为25 μl，含RT产物1.25 μl，10×buffer 2.5 μl，上下游引物各0.2 μmol/L，dNTP 200 μmol/L，MgCl<sub>2</sub> 2.5 mmol/L，Taq DNA聚合酶1U。反应程序为94℃预变性4 min，然后进入PCR循环，94℃变性30 s，55℃退火30 s，72℃延伸1 min，循环35次再延伸7 min。SERCA2与β-actin扩增片段长度分别为464 bp, 231 bp。RT-PCR产物行琼脂糖凝胶电泳，用Bio-Rad凝胶成像系统quantity one软件分析条带灰度，计算SERCA2与β-actin扩增条带灰度比。

### 1.4 蛋白表达的测定

1.4.1 蛋白提取 取左心室心肌组织标本100 mg，剪碎，置于离心管中，加入细胞裂解液及蛋白酶抑制剂，用高速匀浆器打碎，4℃离心4000 r/min，5 min；取上清液置于超速离心管中，4℃离心12 000 r/min，1 h；弃上清，沉淀物为膜蛋白，BCA法测定蛋白浓度，-70℃保存。

1.4.2 SDS-聚丙烯酰胺凝胶电泳 取含20 μg总蛋白的样本，于100℃煮沸5 min，用非连续梯度SDS-聚丙烯酰胺凝胶电泳分离蛋白（SERCA2分子量为110 ku，分离胶浓度为6%，浓缩胶浓度为5%）；首先电压35 V、40 min直到样品在浓缩胶底部成一直线，然后电压100 V、80 min至溴酚蓝到达分离胶底部。

1.4.3 蛋白免疫印迹 在冰水中将凝胶上的蛋白电转移到硝酸纤维膜上，电压110 V、75 min；然后硝酸纤维膜置于封闭液中，室温温育1 h；再加入一抗（SERCA2抗体1:1000稀释、β-actin抗体1:1000稀释）封闭，4℃冰箱过夜。次日用洗液漂洗；再加入1:10 000二抗（二抗为羊抗兔IgG），温育1 h；然后用洗液漂

洗。最后将显色剂LumiGLO A液和B液1:1混合，直接加到硝酸纤维膜上；1 min后将显色液用吸水纸吸干，放入暗盒，加盖一层透明薄膜，曝光2 min。

**1.4.4 蛋白表达半定量分析** 将胶片扫描至计算机内，应用UVIDOC成像仪进行蛋白条带灰度分析；SERCA2与 $\beta$ -actin灰度比值表示蛋白表达半定量水平。

### 1.5 SERCA2活性分析

**1.5.1 心肌肌质网提取步骤** 参照 Jones 等<sup>[6]</sup>的方法制备肌质网。(1)取液氮中黄豆至花生米大小的心肌组织，剪碎后置入离心管中，加入5倍体积的缓冲液A(30 mmol/L Tris-马来酸缓冲液, 0.3 mol/L 蔗糖, 0.1 mmol/L PMSF, 2 mmol/L DTT, 3 mmol/L MgCl<sub>2</sub>, 0.1 mmol/L EDTA, pH=7.2)，用匀浆器将它们匀浆，然后用2层和4层纱布分别过滤1次；(2)4℃, 3800 g离心20 min；(3)取上清液，移入新离心管中，4℃, 14 000 g离心20 min；(4)取上清液，移入新离心管中，4℃, 45 000 g离心60 min；(5)弃上清液，收集沉淀，用缓冲液B(30 mmol/L Tris-马来酸缓冲液, 0.3 mol/L 蔗糖, 0.1 mmol/L PMSF, 2 mmol/L DTT, 0.5 mol/L KCl, pH=7.0)1 ml悬浮，用匀浆器打匀，4℃, 45 000 g离心60 min；(6)收集沉淀，用缓冲液C(30 mmol/L Tris-马来酸缓冲液, 0.3 mol/L 蔗糖, 0.1 mmol/L PMSF, 2 mmol/L DTT, pH=7.0)1 ml悬浮，用匀浆器充分混匀以形成肌质网囊泡，蛋白含量的测定采用BCA法。

**1.5.2 肌质网Ca<sup>2+</sup>-ATP酶活性测定** 机制为每小时每毫克蛋白分解ATP产生1 μmol无机磷的量为一个ATP酶活力单位。严格按照试剂盒说明书操作。

### 1.6 肌质网摄钙能力的测定

取反应液(Tris-HCl 20 mmol/L, KCl 100 mmol/L, MgCl<sub>2</sub> 5 mmol/L, NaN<sub>3</sub> 5 mmol/L, 草酸钾 5 mmol/L, CaCl<sub>2</sub> 0.1 mmol/L, pH 6.8)2 ml与肌质网囊泡蛋白15 mg/L、Fura-2 2 μmol/L，室温下避光在玻璃培养皿放置5 min。把玻璃培养皿放在倒置显微镜下，打开Lambdadg-4钙离子浓度荧光测定仪，激发波长设为340 nm和380 nm，发射波长设为510 nm，然后分别以340 nm和380 nm的波长激发，510 nm发射，在避光条件下记录荧光强度的变化以及R(340 nm荧光强度/380 nm荧光强度比值)的变化。荧光强度平稳后加入ATP-2Na 4 mmol/L触发反应，测定R比值。肌质网摄钙能力的计算： $[Ca^{2+}] = Kd \times (R_t - R_{min}) / (R_{max} - R_t) \times Sf_2/Sb_2 Kd$  为Fura-2对Ca<sup>2+</sup>的离解常数，R<sub>t</sub>为Fura-2在t时间的荧光强度比值，R<sub>min</sub>为Fura-2在没有Ca<sup>2+</sup>的游离时的荧光强度比值，R<sub>max</sub>为Fura-2在饱和Ca<sup>2+</sup>的荧光强度比值，Sf<sub>2</sub>/Sb<sub>2</sub>为380 nm处游离时Fura-2与饱和Fura-2荧光强度比值。

### 1.7 统计学分析

应用SAS6.12统计软件包进行数据处理，所有数据以 $\bar{x} \pm s$ 表示，组间均数比较采用ANOVA检验。 $P < 0.05$ 为差异有统计学意义。

## 2 结 果

### 2.1 3组家兔血流动力学和心功能比较

家兔饲养过程中，心力衰竭组有3只不明原因死亡，缬沙坦组有2只死亡，发生在3周左右；假手术组无死亡，取其中6只进行比较。心力衰竭组解剖时可见皮下、胸腔、腹腔大量积水，而假手术组、缬沙坦组无以上表现；心力衰竭组左心室质量(left ventricular mass, LVM)、左心室质量指数(left ventricular mass index, LVMI)较假手术组、缬沙坦组均明显增高。与假手术组相比，心力衰竭组LVEDP、LVESP显著升高，LVFS及LVEF明显降低；缬沙坦组的LVEDP、LVESP显著低于心力衰竭组，LVFS及LVEF明显高于心力衰竭组(表1)。

表1 实验兔术后7周血流动力学和心功能比较( $n=6, \bar{x} \pm s$ )

参数	假手术组	心力衰竭组	缬沙坦组
LVM(g)	2.48 ± 0.15	7.15 ± 0.59*	4.82 ± 0.21 <sup>#</sup>
LVMI (g/kg)	1.32 ± 0.06	3.61 ± 0.09*	2.07 ± 0.14 <sup>#</sup>
心率/(min)	245 ± 10	271 ± 3*	253 ± 4 <sup>#</sup>
LVEDP(mmHg)	-0.5 ± 1.1	23.0 ± 2.4*	2.2 ± 0.7 <sup>#</sup>
LVESP(mmHg)	112.7 ± 3.8	139.5 ± 3.8*	122.2 ± 0.8 <sup>#</sup>
LVFS(%)	37.8 ± 3.6	17.4 ± 3.1*	33.8 ± 2.9 <sup>#</sup>
LVEF(%)	72 ± 5	39 ± 6*	65 ± 4 <sup>#</sup>

注：LVM：左心室质量；LVMI：左心室质量指数；LVEDP：左心室舒张末期压；LVESP：左心室收缩末期压；LVFS：左心室短轴缩短率；LVEF：左室射血分数；1 mmHg=0.133 kPa。与假手术组比较，\* $P < 0.05$ ；与心力衰竭组比较，<sup>#</sup> $P < 0.05$

### 2.2 3组家兔心肌SERCA2的PCR产物和蛋白表达比较

与假手术组相比，心力衰竭组SERCA2 mRNA水平显著下降，而缬沙坦组的SERCA2 mRNA水平明显高于心力衰竭组；心力衰竭组心肌SERCA2蛋白表达显著低于假手术组，缬沙坦组显著高于心力衰竭组(图1~4)。

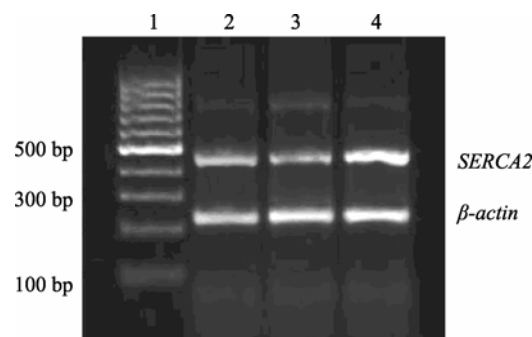


图1 三组家兔7周后心肌SERCA2 mRNA水平比较  
1: Marker; 2: 缬沙坦组; 3: 心力衰竭组; 4: 假手术组

### 2.3 3组家兔心肌SERCA2活性比较

心力衰竭组SERCA2活性明显低于假手术组( $8.32 \pm 0.15$ ) vs ( $15.01 \pm 1.00$ )  $\mu\text{mol Pi}/(\text{mg pro} \cdot \text{h})$ ,  $P < 0.05$ ],缬沙坦组SERCA2活性显著高于心力衰竭组[ ( $12.46 \pm 0.38$ ) vs ( $8.32 \pm 0.15$ )  $\mu\text{mol Pi}/(\text{mg pro} \cdot \text{h})$ ,  $P < 0.05$ ]。

### 2.4 3组家兔心肌SERCA2蛋白表达的比较

心力衰竭组肌质网摄钙能力明显低于假手术组, 缬沙坦组肌质网摄钙能力显著高于心力衰竭组(图5, 图6)。

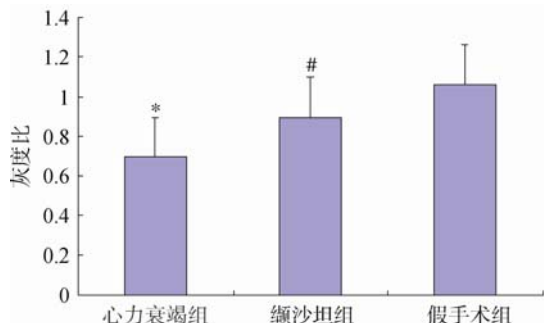


图2 三组家兔心肌SERCA2 mRNA水平比较  
与假手术比较, \* $P < 0.05$ ; 与心力衰竭组比较, # $P < 0.05$

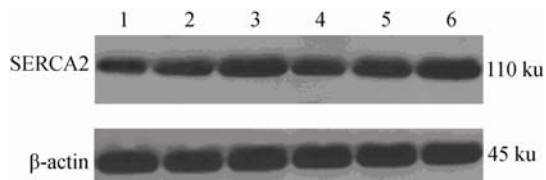


图3 三组家兔心肌SERCA2蛋白免疫印迹结果  
1: 心力衰竭组; 2: 缬沙坦组; 3: 假手术组;  
5: 缬沙坦组; 6: 假手术组

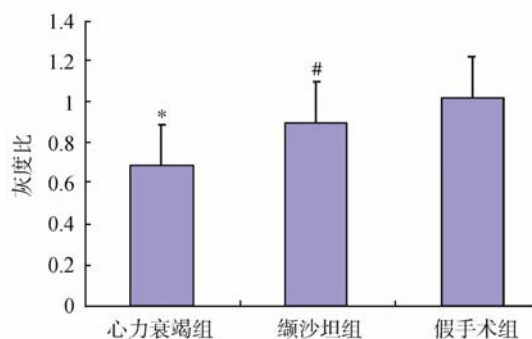


图4 三组家兔心肌SERCA2蛋白表达比较  
与假手术比较, \* $P < 0.05$ ; 与心力衰竭组比较, # $P < 0.05$

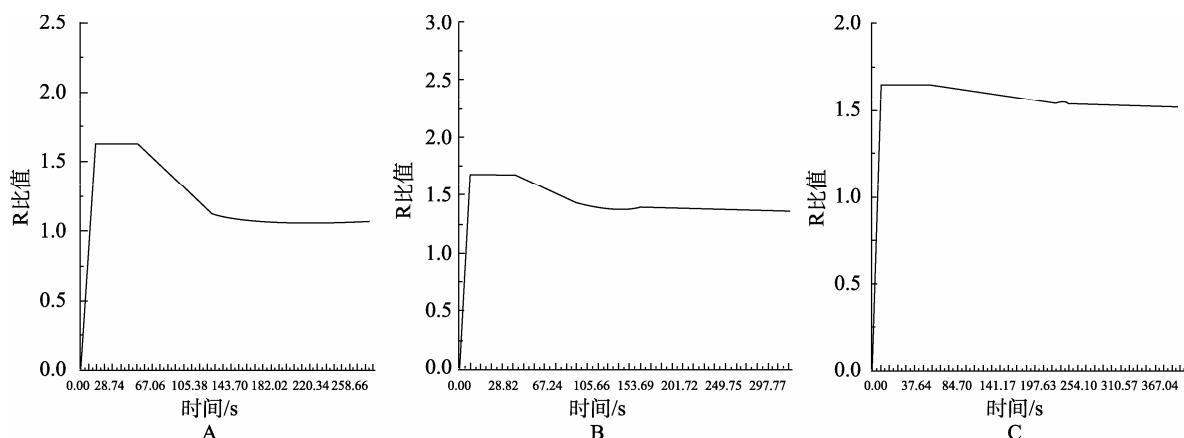


图5 三组家兔心肌SERCA2蛋白表达比较  
A: 假手术组; B: 缬沙坦组; C: 心力衰竭组

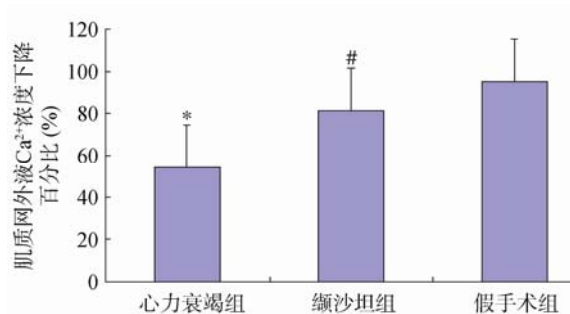


图6 三组家兔心肌细胞肌质网摄钙能力比较  
与假手术组比较, \* $P < 0.05$ ; 与心力衰竭组比较, # $P < 0.05$

## 3 讨论

越来越多的证据表明, 钙循环异常在心力衰竭

的发展中起着重要作用<sup>[7]</sup>。钙循环主要包括肌质网钙释放、钙回摄及钙储存三个过程。钙回摄是由SERCA2完成, 其将胞质内 $\text{Ca}^{2+}$ 回摄至肌质网内储存, 同时钠钙交换体(NCX)将胞质内 $\text{Ca}^{2+}$ 一部分转运至胞外, 维持细胞内钙稳态。大多研究显示心力衰竭时SERCA2的表达和活性是降低的<sup>[8]</sup>。SERCA2表达及活性降低将直接导致肌质网回摄钙减少, 并进而导致肌质网贮钙减少; 钙回摄下降, 导致心肌舒张时, 肌质网不能迅速从胞质中摄回钙, 不能维持胞质内的低钙状态, 收缩后的心肌不能充分舒张, 进而影响心室的充盈。

本研究显示, 7周后心力衰竭组家兔均表现为不同程度的进食和活动减少, 呼吸频率增快; LVM,

LVMI, LVEDP明显增加; LVFS及LVEF明显降低;解剖时可见皮下、胸腔、腹腔大量积水。以上结果表明,心力衰竭组家兔在超容量负荷及压力负荷的影响下,结构上表现为心室重构,功能上表现为收缩功能降低,最终发展为左心力衰竭。与假手术组相比,心力衰竭组SERCA2的表达和活性显著降低,肌质网的摄钙能力下降,与以往的报道一致<sup>[9]</sup>。

本实验表明缬沙坦长期干预心力衰竭,可明显增加SERCA2的表达和活性,提高肌质网的摄钙能力,显著改善血流动力学,缓解心室肥厚。国外有研究提示心力衰竭时肾素-血管紧张素系统参与引起了SERCA2表达和功能的降低<sup>[3,4]</sup>。缬沙坦作为一种ARB类药物,主要通过与AT<sub>1</sub>受体结合,竞争性抑制血管紧张素的生物学效应而发挥作用。具体机制可能包括以下因素:(1)缬沙坦作为血管扩张剂降低了心脏的前后负荷,降低了室壁的张力,改善了促使心室重构的血流动力学异常;(2)抑制了心肌细胞凋亡、肥大和胶原的增生;(3)抑制了交感神经的过度激活;(4)增强了血管紧张素受体的良性心血管效应;(5)抑制了炎症因子等;(6)抑制肾素-血管紧张素系统,增加了SERCA2的表达和功能;(7)抑制了心力衰竭时肌质网钙调控相关蛋白的改变,恢复钙介导的兴奋-收缩偶联等<sup>[10-12]</sup>。

总之,本实验结果说明,心力衰竭家兔SERCA2的表达和活性降低,使肌质网的摄钙能力下降,从而影响了心肌舒缩功能,这为心力衰竭治疗提供了新的方向。缬沙坦长期干预心力衰竭,改善心脏舒缩功能,可能与其增加SERCA2的表达和活性,提高肌质网的摄钙能力有关。

#### 【参考文献】

- [1] Guo X, Chapman D, Dhalla NS. Partial prevention of changes in SR gene expression in congestive heart failure due to myocardial infarction by enalapril or losartan[J]. Mol Cell Biochem, 2003, 254(1-2): 163-172.
- [2] Periasamy M, Bhupathy P, Babu GJ. Regulation of sarcoplasmic reticulum Ca<sup>2+</sup> ATPase pump expression and its relevance to cardiac muscle physiology and pathology[J]. Cardiovasc Res, 2008, 77(2): 265-273.
- [3] Ju H, Scammel-La Fleur T, Dixon IM. Altered mRNA abundance of calcium transport genes in cardiac myocytes induced by angiotensin II[J]. J Mol Cell Cardiol, 1996, 28(5): 1119-1128.
- [4] Shao Q, Ren B, Saini HK, et al. Sarcoplasmic reticulum Ca<sup>2+</sup> transport and gene expression in congestive heart failure are modified by imidapril treatment[J]. Am J Physiol Heart Circ Physiol, 2005, 288(4): H1674-H1682.
- [5] 邹操, 刘志华, 赵彩明, 等. 超容量负荷联合压力负荷制备家兔心力衰竭模型的可行性探讨[J]. 实验动物与比较医学, 2005, 25(4): 211-214.
- [6] Jones LR, Simmerman HK, Wilson WW, et al. Purification and characterization of phospholamban from canine cardiac sarcoplasmic reticulum [J]. J Biol Chem, 1985, 260(12): 7721-7730.
- [7] Dibb KM, Graham HK, Venetucci LA, et al. Analysis of cellular calcium fluxes in cardiac muscle to understand calcium homeostasis in the heart[J]. Cell Calcium, 2007, 42(4-5): 503-512.
- [8] Xu YJ, Chapman D, Dixon IM, et al. Differential gene expression in infarct scar and viable myocardium from rat heart following coronary ligation[J]. J Cell Mol Med, 2004, 8(1): 85-92.
- [9] Zhao XY, Hu SJ, Li J, et al. rAAV-asPLB transfer attenuates abnormal sarcoplasmic reticulum Ca<sup>2+</sup> ATPase activity and cardiac dysfunction in rats with myocardial infarction[J]. Eur J Heart Fail, 2008, 10(1): 47-54.
- [10] Oishi Y, Ozino R, Yoshizumi M, et al. AT2 receptor mediates the cardioprotective effects of AT1 receptor antagonist in post-myocardial infarction remodeling[J]. Life Sci, 2006, 80(1): 82-88.
- [11] Cohn JN, Tognoni G. A randomized trial of the angiotensin-receptor blocker valsartan in chronic heart failure[J]. N Engl J Med, 2001, 345(23): 1667-1675.
- [12] Pfeffer MA, Swedberg K, Granger CB, et al. Effects of candesartan on mortality and morbidity in patients with chronic heart failure: the CHARM-Overall programme[J]. Lancet, 2003, 362(9386): 759-766.

(编辑:王雪萍)